

3. Ларионов. С.А., Власов. Ю.А., Саркисов Ю.С. и др. Получение, идентификация и применение наноуглеродных материалов в тиботехнических системах транспортных машин. Вестник машиностроения. – №8, 2013. – С. 37–40.
4. Сергеев Г.Б. Нанохимия.- М.: Изд-во Моск. ун-та.– 2003. – 288с.
5. Пат. На полезную модель 32602 рос. Федерации: МПК<sup>7</sup> G01 N3/56. Автоматизированный комплекс для триботехнического контроля смазочных свойств рабочих жидкостей и исследование фрикционно-износных свойств конструкционных материалов.
6. Пат. На полезную модель 43974 рос. Федерации: МПК<sup>7</sup> G01 N3/56. Устройство нагружения к машине трения.

### ОПРЕДЕЛЕНИЕ ВЛИЯНИЯ РАСПОЛОЖЕНИЯ ПРОДОЛЬНЫХ ЗАКОНТУРНЫХ КАНАЛОВ НА ВЕЛИЧИНУ КОНЦЕНТРАЦИИ НАПРЯЖЕНИЙ

А.А. Казанцев, Ю.Ф. Глазков\*, А.А. Дортман

Юргинский технологический институт (филиал) Национального исследовательского Томского политехнического университета

652055, Кемеровская обл., г. Юрга, ул. Ленинградская, 26

\*Кузбасский государственный технический университет, 650000, Кемерово, ул. Весенняя, 28

E-mail: kazantsev@tpu.ru, glazkov-yf@rambler.ru

Объектом исследования являются продольные законтурные каналы образованные опорными элементами противовращения которые расположены на стабилизирующей секции геохода (рис. 1) при его проходке. В данные каналы предполагается установка элементов законтурной крепи для поддержания горных выработок.

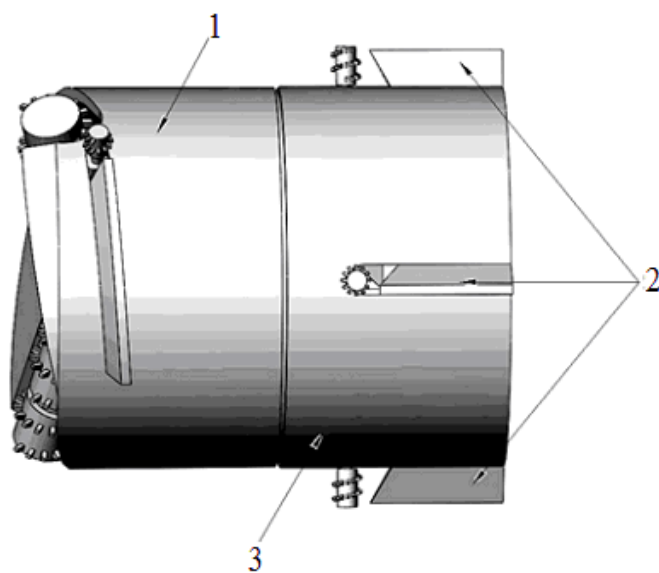


Рис. 1. Внешний вид геохода:

1 – головная секция, 2 – стабилизирующая секция, 3 – элементы противовращения

Оценка влияния расположения каналов производилась по величине напряжений, возникающих в окрестности выработки с каналами. Напряжения определялись из решения задачи плоской деформации методом конечных элементов в упругой линейной постановке (модель Гука). Механические свойства массива горных пород, вмещающих выработку, приняты по справочнику [7] для условий шахты Распадская, песчаник мелкозернистый, пропитанный гидроокислями железа).

Свойства породы, принятые для анализа:

модуль упругости первого рода  $E = 2 \cdot 10^4$  МПа;

коэффициент Пуассона  $\nu = 0,2$ ;

объемная масса  $\rho = 2200$  кг/м<sup>3</sup>;

предел прочности при одноосном сжатии  $\sigma_{ск} = 22$  МПа;

предел прочности при одноосном растяжении  $\sigma_p = 2,6 \text{ МПа}$ ;

сцепление  $C = 5,8 \text{ МПа}$ ;

угол внутреннего трения  $\phi = 38^\circ$ .

Глубина залегания выработки для расчета принята  $H = 50 \text{ м}$ .

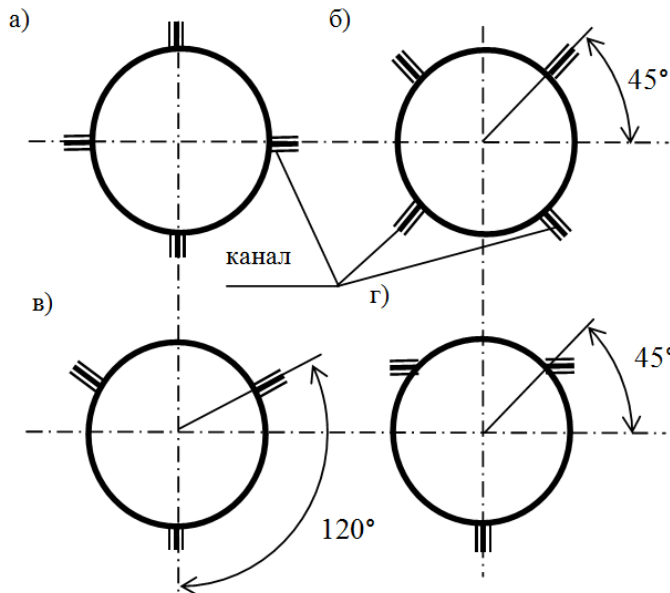


Рис. 2. Схемы расположения продольных законтурных каналов:

а) плюс-образное (+); б) икс-образное (X); в) игрек-образное (Y); г) Т-образное (T)

Расчетная модель массива горных пород, вмещающих выработку, в соответствии с современными принципами горной геомеханики [8-10] принята в виде бесконечной невесомой полуплоскости с вырезом в форме поперечного сечения выработки, нагруженной на бесконечности вертикальным давлением  $\gamma H$  и горизонтальным  $\lambda \gamma H$ .

Здесь  $\gamma = \rho g = 2200 \cdot 9,81 \approx 22000 \text{ н/м}^3 = 22 \text{ кН/м}^3$  – объемный вес горной породы. Коэффициент бокового давления  $\lambda = v/(1-v) = 0,2/(1-0,2) = 0,25$ .

При таких условиях вертикальное давление  $\gamma H = 22 \cdot 50 = 1100 \text{ кПа} = 1,1 \text{ МПа}$ , и горизонтальное  $\lambda \gamma H = 0,25 \cdot 1,1 = 0,275 \text{ МПа}$ .

Размеры поперечного сечения выработки  $D = 3200 \text{ мм}$ . Поперечные сечения каналов в перспективе предполагается принимать в форме трапеции, сужающейся по мере удаления от контура выработки. В предположении, что трапециевидность сечения канала будет несущественно влиять на результаты расчетов, в рамках данного этапа работы сечения всех каналов принимались одинаковыми прямоугольными с длиной 200 мм и шириной 40 мм.

## 2. Описание моделей метода конечных элементов

При моделировании методом конечных элементов (МКЭ) учитывалась симметрия задач. Так для вариантов расположения каналов (+) и (X), (рис. 2, а, б) имеющих вертикальную и горизонтальную оси симметрии, моделировалась четверть полуплоскости. Для вариантов (Y) и (T) (рис. 1, в, г) с одной (вертикальной) осью симметрии моделировалась правая половина полуплоскости.

Элементные модели (КЭМ) горного массива в окрестности выработки с каналами приведены на рис.3.

Внешние вертикальные и горизонтальные границы КЭМ, к которым прикладывались вертикальное и горизонтальное давления располагались на расстоянии 12 м от соответствующих осей симметрии моделей.

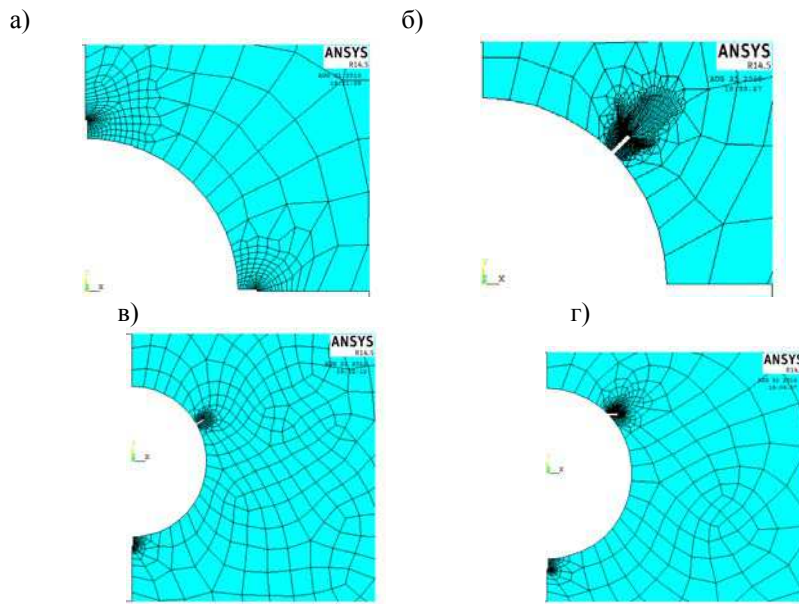


Рис. 3. Сетки конечных элементов в окрестности выработок:  
а) плюс-образное (+); б) икс-образное (Х); в) игрек-образное (Y); г) Т-образное (Т)

### 3. Анализ результатов расчетов

В качестве иллюстрации результатов расчетов на рис.3 приведены эпюры интенсивности расчетных напряжений, которая определяется как модуль максимальной парной разности главных напряжений [11]

$$\text{Max}[(\sigma_1 - \sigma_2)(\sigma_2 - \sigma_3)(\sigma_3 - \sigma_1)] \quad (1)$$

Из приведенных результатов видно, что влияние каналов носит резко локальный характер, при котором зоны значительного увеличения расчетных напряжений расположены вблизи вершин каналов и по размерам соизмеримы с длиной канала равной 200 мм. Для оценки степени влияния вариантов расположения каналов были найдены значения интенсивности напряжений  $\sigma_i$ , максимального  $\sigma_1$  и минимального  $\sigma_3$  главных напряжений, которые приведены в табл. 1.

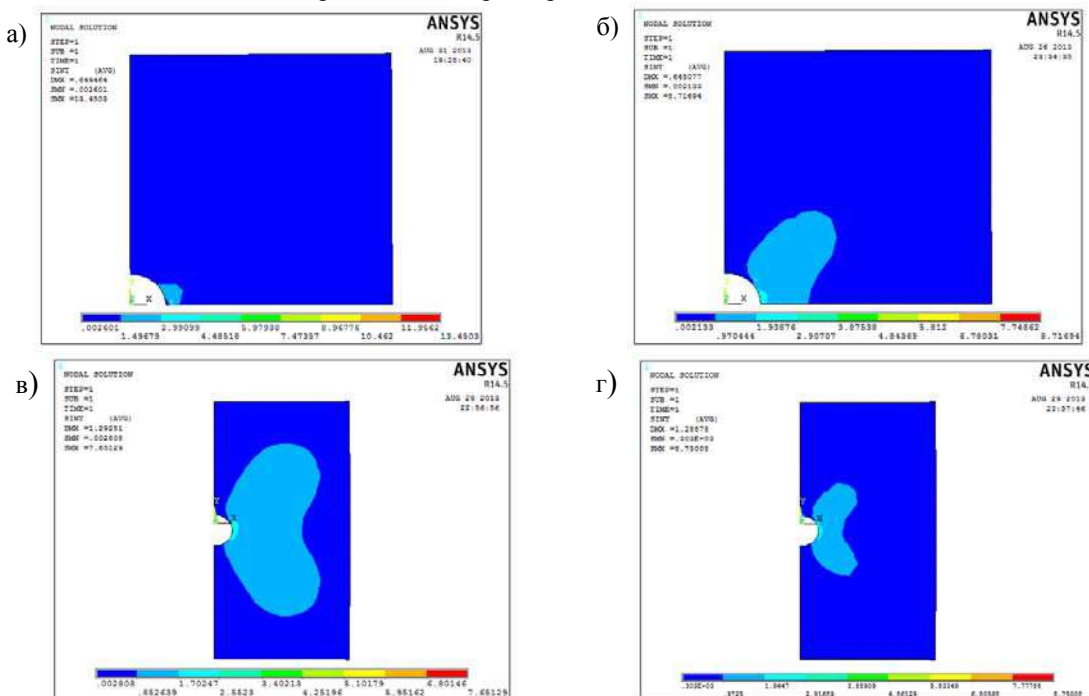


Рис. 3. Эпюры интенсивностей напряжений:  
а – плюс-образное (+); б – икс-образное (Х); в – игрек-образное (Y); г – Т-образное (Т)

Таблица 1

№	Вариант	Значения расчетных напряжений		
		$\sigma_i$	$\sigma_1$	$\sigma_3$
1	+	13,45	0,67	-14,21
2	X	8,71	0,98	-8,11
3	Y	7,65	0,71	-7,69
4	T	8,75	0,63	-8,29

Здесь необходимо отметить, что несоответствие результатов, приведенных в табл. 1, формуле (1) вызвано тем, что расчетные напряжения каждого вида определялись в несовпадающих точках моделей и приведены здесь для сравнительных оценок. С нашей точки зрения, наиболее представительными являются значения интенсивности напряжений  $\sigma_i$ .

#### 4. Выводы

1. В условиях данной задачи, когда вертикальная нагрузка преобладает над горизонтальной, наибольшие расчетные напряжения в окрестности выработки круглого поперечного сечения без каналов концентрируются в бортах выработки, т. е. на горизонтальной ее оси. Назовем такое напряженное состояние исходным. Концентрация напряжений, связанная с наличием каналов, зависит от исходного напряженного состояния. Чем выше исходные напряжения, тем сильнее концентрация напряжений от каналов.

2. Результаты, приведенные в табл. 1, вполне соответствуют этому правилу. Максимум напряжений по варианту (+) вызван тем, что горизонтальные каналы расположены в зоне максимальных исходных напряжений.

3. Остальные три варианта (X, Y, T) близки по значениям интенсивности напряжений. Это вызвано тем, что каналы в этих вариантах находятся в зонах относительно малых исходных напряжений. В соответствии со значениями интенсивности напряжений можно расположить варианты расположения каналов по степени убывания предпочтительности: (Y), (T), (X), (+).

4. В дальнейшем можно использовать следующий подход к расположению каналов – их необходимо располагать в зонах минимальных значений исходных напряжений. Например, в условиях решаемой задачи можно оставить два канала расположенных на вертикальной оси симметрии. Это обосновано тем, что в этих местах возникают минимальные исходные напряжения.

**Полученные результаты достигнуты при финансовой поддержке гранта Губернатора Кемеровской области для молодых ученых.**

#### Литература.

1. Винтоворотные проходческие агрегаты / А.Ф. Эллер, В.Ф. Горбунов, В.В. Аксенов. – Новосибирск: ВО «Наука». Сибирская издательская фирма, 1992. – 192 с.
2. Аксенов В.В. Геовинчестерная технология проведения горных выработок. – Кемерово: Институт угля и углехимии СО РАН, 2004. – 264 с., ил.
3. Аксенов В.В. Научные основы геовинчестерной технологии проведения горных выработок и создания винтоворотных агрегатов: Дис. док. техн. наук. – Кемерово, 2004, 307 с.
4. Estimation of torque variation of geohod transmission with hydraulic drive. Vladimir V. Aksakov, Mikhail Yu. Blaschuk, Mikhail V. Dubrovskii // Applied Mechanics and Materials Vol. 379 (2013) pp 11-15. Trans Tech Publications, Switzerland doi:10.4028/www.scientific.net/AMM.379.11
5. The influence of relative distance between ledges on the stress-strain state of the rock at a face V.V. Aksakov, A.B. Efremenkov, V.Yu. Beglyakov // Applied Mechanics and Materials Vol. 379 (2013) pp 16-19 Trans Tech Publications, Switzerland doi:10.4028/www.scientific.net/AMM.379.16
6. Justification of creation of an external propulsor for multipurpose shield-type heading machine – GEO-WALKER V.V. Aksakov, A.A. Khoreshok, V.Yu. Beglyakov // Applied Mechanics and Materials Vol. 379 (2013) pp 20-23 Trans Tech Publications, Switzerland doi:10.4028/www.scientific.net/AMM.379.20
7. Штумпф. Г.Г Физико-технические свойства горных пород и углей Кузнецкого бассейна: Справочник / Г.Г. Штумпф, Ю.А. Рыжков, В.А. Шаламанов, А.И. Петров. – М.: Недра, 1994. – 447 с.
8. Булычев, Н.С. Механика подземных сооружений: Учебник для вузов. – М.: Недра, 1982. – 270 с.
9. Булычев, Н.С. Механика подземных сооружений в примерах и задачах: Учебное пособие для вузов. – М.: Недра, 1989. – 270 с.

10. Механика подземных сооружений и конструкции крепей : учебник для студентов, обучающихся по направлению подготовки "Горное дело" специальности "Шахтное и подземное строительство" / И.В. Баклашов, Б.А. Картозия. - Изд. 3-е, стер. - Москва : Студент, 2012 [т.е. 2011]. - 542 , [1] с. : ил.; 22 см. - ISBN 978-5-4363-0027-6
11. ANSYS 14.5 Help Manual

### РАЗРАБОТКА МОДЕЛИ КИНЕМАТИЧЕСКИХ ОСОБЕННОСТЕЙ ГЕОХОДА

*В.Ю. Садовец, В.Ю. Бегляков, А.Б. Ефременков*

*Юргинский технологический институт (филиал) Национального исследовательского*

*Томского политехнического университета*

*652055, Кемеровская обл., г. Юрга, ул. Ленинградская, 26*

Обоснование компоновочных схем привода геохода на основе гидропривода рассмотрено в работе [1]. Один из вариантов компоновочной схемы с непрерывной подачей на забой с двумя группами гидроцилиндров в разных фазах выдвижения в одной плоскости представлен на рис. 1.

Привод геохода содержит  $k$  силовых домкратов, каждый из которых обеспечивает поворот агрегата на угол  $\psi = 2\pi/k$ , создавая среднюю угловую скорость  $\Omega = 2\pi/T$  [2]. Неуравновешенность привода и наличие кинематических особенностей (для краткости именуемых дефектами) приводят к формированию в спектре колебаний с высшими частотами  $m\Omega$  и  $n\Omega$ . Для определенности считаем  $m < n$ ;  $m, n = 2, 3, \dots$ .

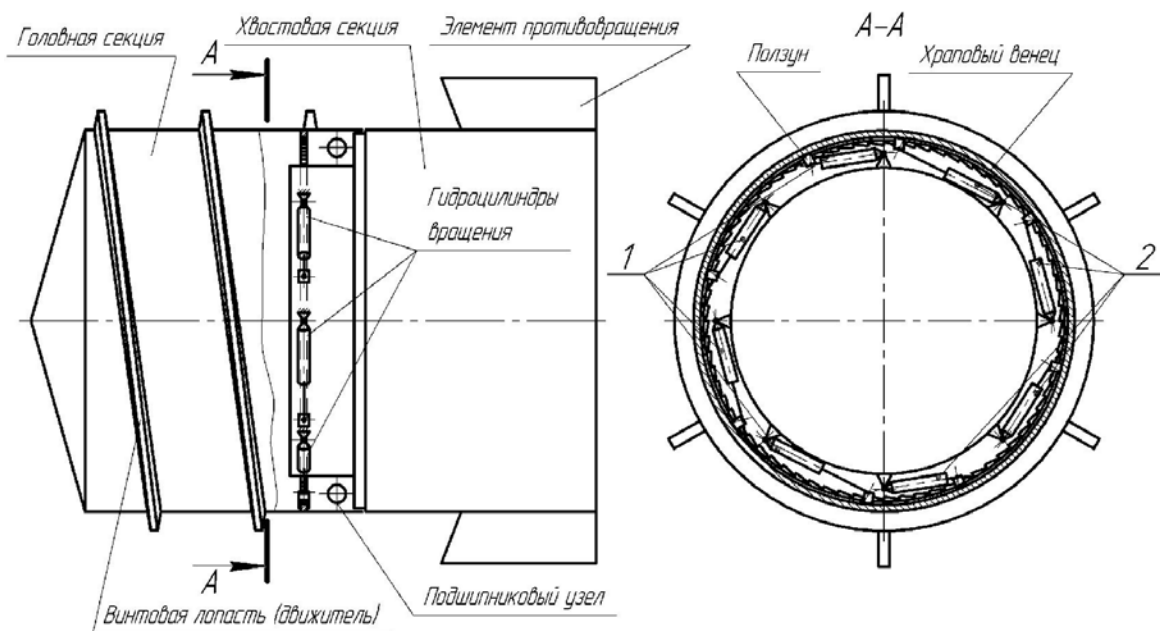


Рис. 1. Компоновочная схема гидравлического привода геохода

По техническим условиям допускаются режимы работы и состояния привода, при которых в изменении (пульсации) окружной скорости головной секции геохода, выделяется не более 2-х устойчивых колебаний (гармоник  $m$  и  $n$ ) с частотами вращения:  $m\Omega = \frac{2\pi m}{T} < n\Omega = \frac{2\pi n}{T}$ .

Трехкомпонентные колебания классифицируются как проявления разного рода критических дефектов, но и природа двухкомпонентных спектров также связывается с отклонениями от идеально-го механизма. Таким образом, следует рассмотреть те возможные виды динамических систем, которые в ответ на включение домкрата формируют и передают на корпус две устойчивые гармоники.

При этом предполагается, что другие домкраты не обязаны воспроизводить отмеченный (зарегистрированный) режим, и могут дать другую картину формирования скоростей вращения головной секции геохода.